



Technische Universität Berlin  
Fakultät IV - Elektrotechnik und Informatik  
Institut für Energie- und Automatisierungstechnik  
Fachgebiet für Energieversorgungsnetze und Integration Erneuerbarer Energien

# PROTOKOLLVORLAGE

## **Protokoll**

zum 1. Praktikumstermin

## **im Laborpraktikum**

des Moduls

## **Elektrische Netzwerke**

im Sommersemester 2021

Autor: Juan Nicolas Pardo Martin (389772)  
Betreuer: Jeanne Mustertutorin  
Labortermin: Samstag, 30. Mai 2021, 16-18 Uhr  
Eingereicht am: Montag, den 17. Mai 2021

# Eidesstattliche Erklärung

Hiermit erkläre ich an Eides statt, dass ich die mit meinem Namen gekennzeichneten Teile für das vorliegende *Protokoll*

## PROTOKOLLVORLAGE

zum 1. *Praktikumstermin* im *Laborpraktikum* des Moduls *Elektrische Netzwerke* selbstständig und eigenhändig sowie ohne unerlaubte fremde Hilfe und ausschließlich unter Verwendung der aufgeführten Quellen und Hilfsmittel angefertigt habe.

Berlin, 17. Mai 2021

A handwritten signature in black ink, appearing to read 'Juan Nicolas Pardo Martin', written over a horizontal line.

JUAN NICOLAS PARDO MARTIN (389772)

# Inhaltsverzeichnis

<b>1</b>	<b>Einleitung</b>	<b>4</b>
<b>2</b>	<b>Versuchsdurchführung</b>	<b>5</b>
2.1	Messung . . . . .	5
2.2	Simulation . . . . .	6
<b>3</b>	<b>Versuchsergebnisse</b>	<b>8</b>
3.1	Messdaten . . . . .	8
3.2	Ergebnisplots . . . . .	9
<b>4</b>	<b>Versuchsauswertung</b>	<b>13</b>
<b>5</b>	<b>Zusammenfassung</b>	<b>14</b>
	<b>Tabellenverzeichnis</b>	<b>15</b>
	<b>Abbildungsverzeichnis</b>	<b>16</b>
	<b>Quellenverzeichnis</b>	<b>17</b>

# 1 Einleitung

Wir werden die Ortskurven der RC-Schaltung untersuchen, den Ziel der versuchung ist die Admittanzortkurve und Impedanz einer RC-Schaltung als funktion von Frequenz. So können wir eine Idee haben wie reagiert der Spannung und Strom an einen bestimmte Frequenz, diese Information ist nützliche um Filtern zu bauen.

*Juan Nicolas Pardo Martin*

## 2 Versuchsdurchführung

### 2.1 Messung

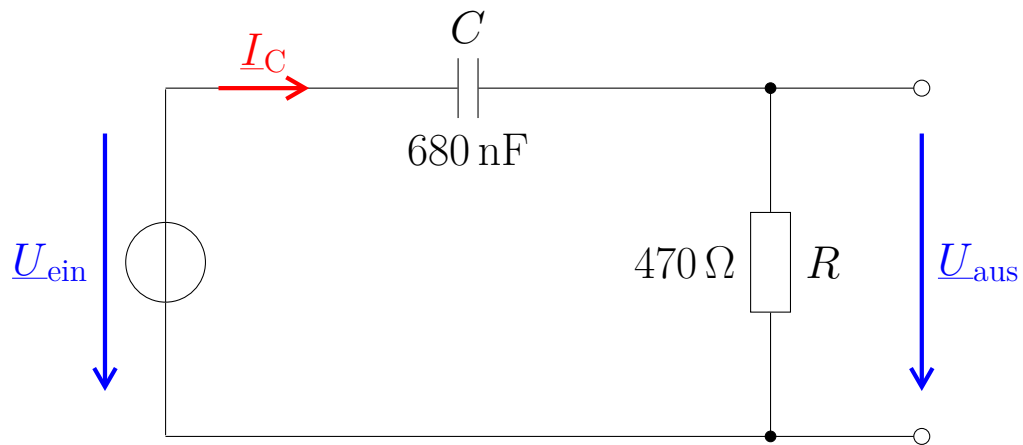


Abbildung 1: Ersatzschaltbild der untersuchten RC-Reihenschaltung

## 2.2 Simulation

Im Anschluss an den praktischen Versuchsteil wurde die RC-Reihenschaltung in der frei verfügbaren Simulationssoftware LTspice<sup>1</sup> nachgebaut und simuliert. Dabei wurden die gleichen Bauteilwerte von  $R = 470\,\Omega$  und  $C = 680\,\text{nF}$  verwendet. Am Eingang der Schaltung wurde eine Wechselspannung  $u_E$  mit einem Amplitudenwert von  $\hat{u} = 10\,\text{V}$  angelegt.

Dabei war zu beachten, dass die in der Simulation verwendete ideale Spannungsquelle einen Innenwiderstand von  $R_i = 0\,\Omega$  hatte, so dass es nicht zu einem Einbruch der Spannung in Abhängigkeit von der angeschlossenen Versuchsschaltung kam. Die Einstellwerte für die Spannungsquelle sind in Abb. 2 dokumentiert.

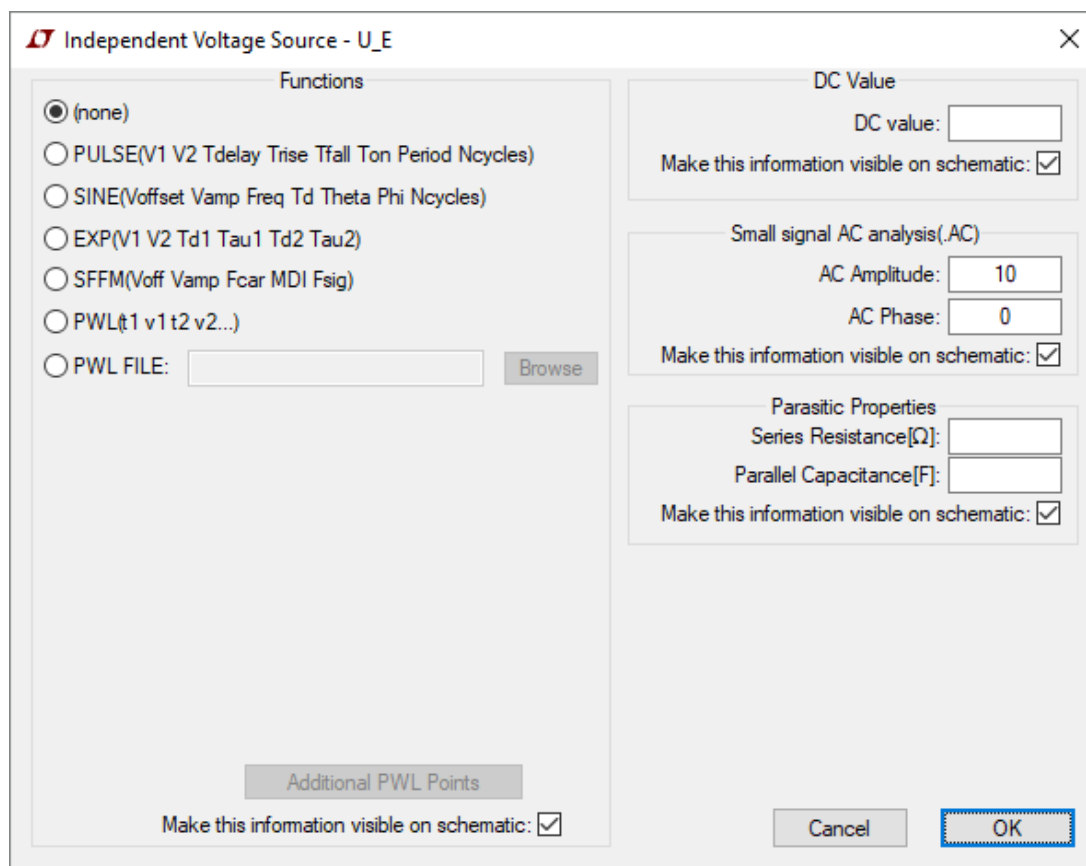


Abbildung 2: Simulation: Einstellwerte der Spannungsquelle

Die resultierende Simulationsschaltung ist in Abb. 3 dargestellt. Darin befindet sich neben den passiven Bauelementen und der Spannungsquelle auch ein Masse-Element zur Festlegung des Bezugspotentials. Messgeräte zur Erfassung der gewünschten Zustandsgrößen müssen in LTspice nicht gesondert eingefügt werden; die Simulation umfasst immer alle vorhandenen Zustandsgrößen.

<sup>1</sup>siehe [LTspice]

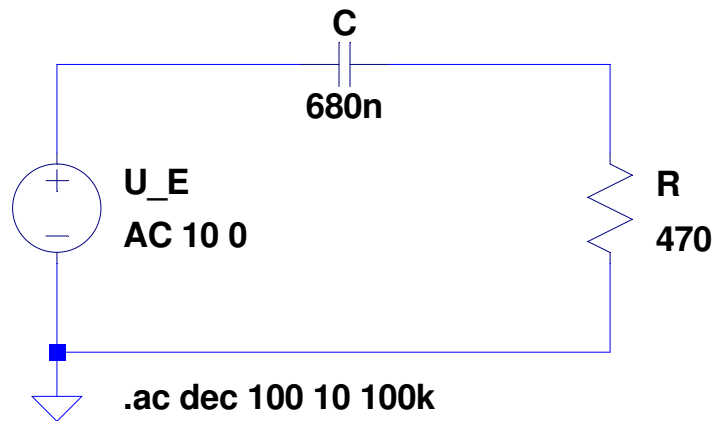


Abbildung 3: Simulation: Schaltung in LTspice

Im Rahmen der Simulation konnte die Frequenz der Eingangsspannung über einen großen Wertebereich mit sehr vielen Stützpunkten verändert werden. Während die Frequenz im Versuch zwischen 100 Hz und 1 kHz variiert wurde – bei insgesamt 10 Stützpunkten –, wurden für die Simulation Frequenzen von 10 Hz bis 100 kHz mit 100 Stützpunkten pro Dekade verwendet. Die entsprechenden Einstellungen sind Abb. 4 zu entnehmen.

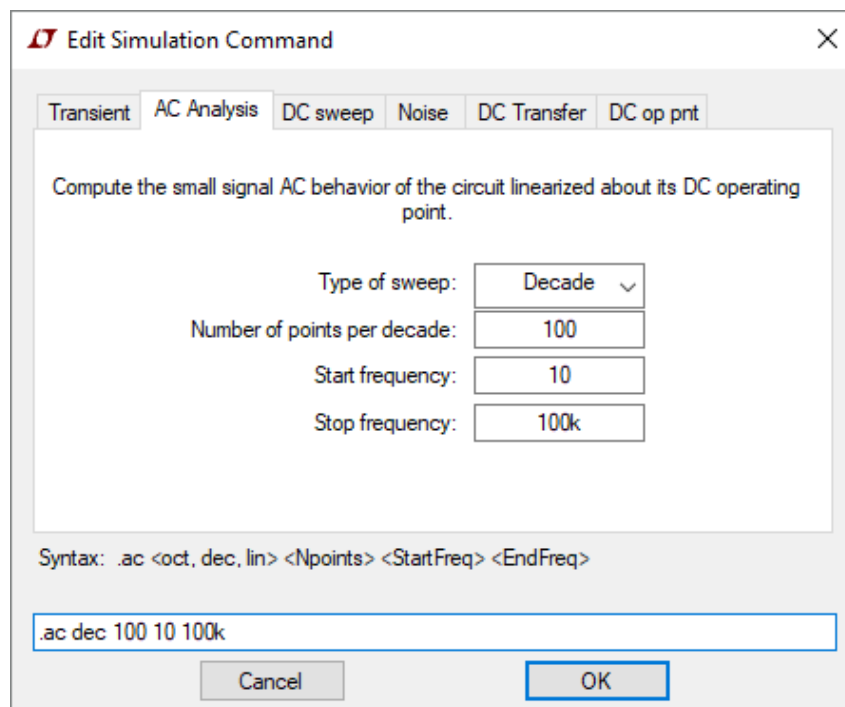


Abbildung 4: Simulation: Einstellwerte der Simulationsparameter

Im Anschluss an die Simulation wurden die Ergebnisse aus LTspice exportiert und mit Hilfe der readLTspice-Funktion<sup>2</sup> in Scilab<sup>3</sup> eingelesen. Dort wurden die Daten ausgewertet.

<sup>2</sup>siehe [readLTspice]

<sup>3</sup>siehe [?]

### 3 Versuchsergebnisse

#### 3.1 Messdaten

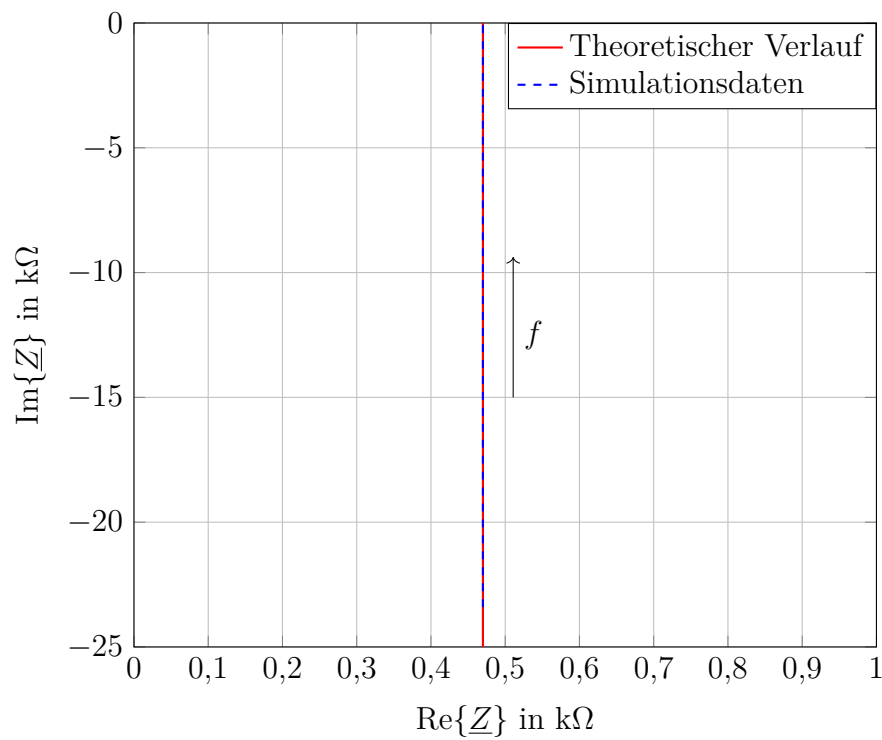
$U_{Epp}$ [V]	$U_{Rpp}$ [V]	$\Delta t$ [s]	$f$ [1/s]	$\phi$	$ z $	$ y $
14.16	2.96	0.00216	100	1.35716802635079	2248.37837837838	0.000444764995792
13.92	5.36	0.00096	200	1.20637157897848	1220.59701492537	0.000819271215456
13.76	7.2	0.00054	300	1.01787601976309	898.222222222222	0.001113310242454
13.6	8.48	0.00036	400	0.90477868423386	753.77358490566	0.001326658322903
13.36	9.44	0.000256	500	0.804247719318987	665.169491525424	0.001503376226270
13.28	10.16	0.000192	600	0.723822947387088	614.330708661417	0.001627787746731
13.12	10.64	0.000148	700	0.650937997823805	579.548872180451	0.001725480020751
13.12	11.12	0.000116	800	0.583079596506266	554.532374100719	0.001803321224701
13.12	11.28	9.6e-05	900	0.542867210540316	546.666666666667	0.001829268292682
13.12	11.52	8e-05	1000	0.502654824574367	535.277777777778	0.001868188894651



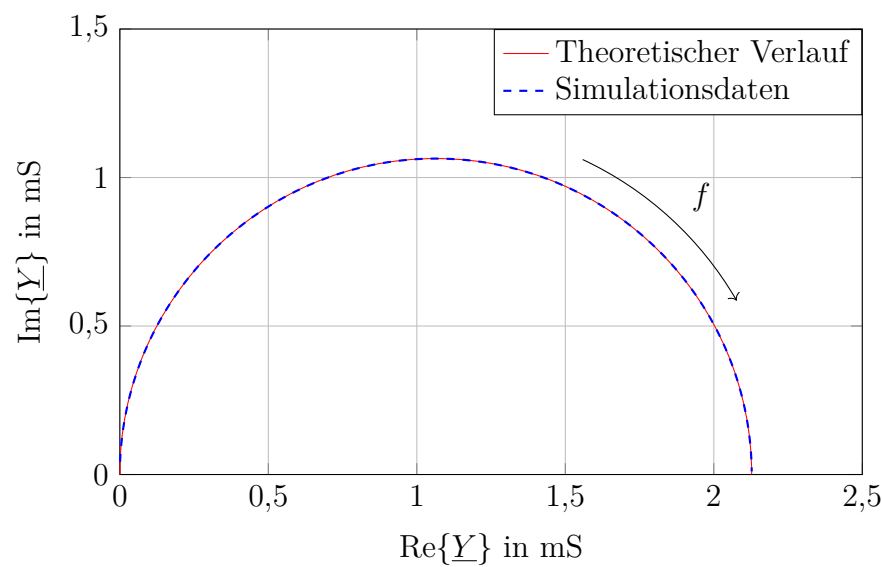
### 3.2 Ergebnisplots

Im Folgenden werden die theoretischen, die Mess- und die Simulationsergebnisse in Vergleichsplots dargestellt.

Abbildung 5 zeigt einen Vergleich der theoretischen Ergebnisse mit den Simulationsergebnissen.



(a) Plot der Impedanzortskurve



(b) Plot der Admittanzortskurve

Abbildung 5: Plot der theoretischen und der Simulationsergebnisse

Es wird deutlich, dass die Kurven sowohl in Abb. 5a als auch in Abb. 5b nahezu identisch und mit bloßem Auge nicht unterscheidbar sind. In den Tab. 1 und 2 wurden daraufhin die Werte des theoretischen Verlaufs sowie der Simulationsdaten für ausgewählte Stützstellen miteinander verglichen.

Tabelle 1: Impedanzortskurve: Vergleich von Theorie und Simulation

$f_E$ in Hz	Theorie		Simulation	
	$\text{Re}\{\underline{Z}_{RC}\}$ in $k\Omega$	$\text{Im}\{\underline{Z}_{RC}\}$ in $k\Omega$	$\text{Re}\{\underline{Z}_{RC}\}$ in $k\Omega$	$\text{Im}\{\underline{Z}_{RC}\}$ in $k\Omega$
10	0,47	-23,405 14	0,47	-23,405 14
100	0,47	-2,340 52	0,47	-2,340 52
1000	0,47	-0,234 05	0,47	-0,234 05
10 000	0,47	-0,0234	0,47	-0,0234
100 000	0,47	-0,002 33	0,47	-0,002 33

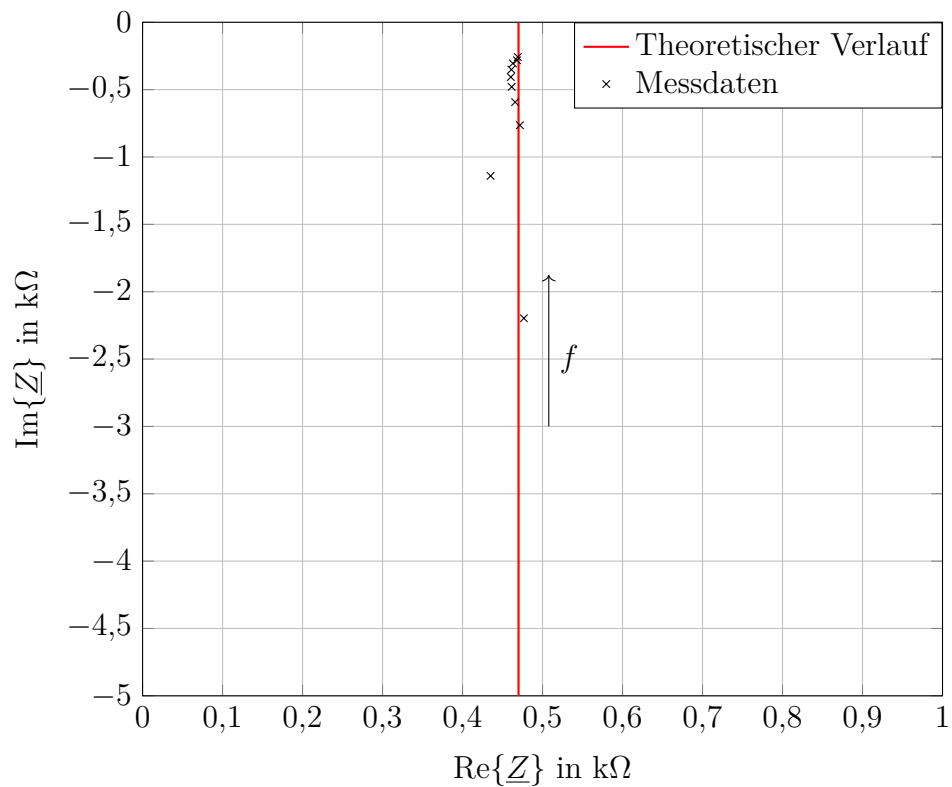
Tabelle 2: Admittanzortskurve: Vergleich von Theorie und Simulation

$f_E$ in Hz	Theorie		Simulation	
	$\text{Re}\{\underline{Y}_{RC}\}$ in mS	$\text{Im}\{\underline{Y}_{RC}\}$ in mS	$\text{Re}\{\underline{Y}_{RC}\}$ in mS	$\text{Im}\{\underline{Y}_{RC}\}$ in mS
10	0,000 857 6	0,042 708 4	0,000 857 6	0,042 708 4
100	0,082 472	0,410 695 4	0,082 472	0,410 695 4
1000	1,704 874 9	0,848 996 5	1,704 874 9	0,848 996 5
10 000	2,122 396 3	0,105 691 4	2,122 396 3	0,105 691 4
100 000	2,127 606 8	0,010 595 1	2,127 606 8	0,010 595 1

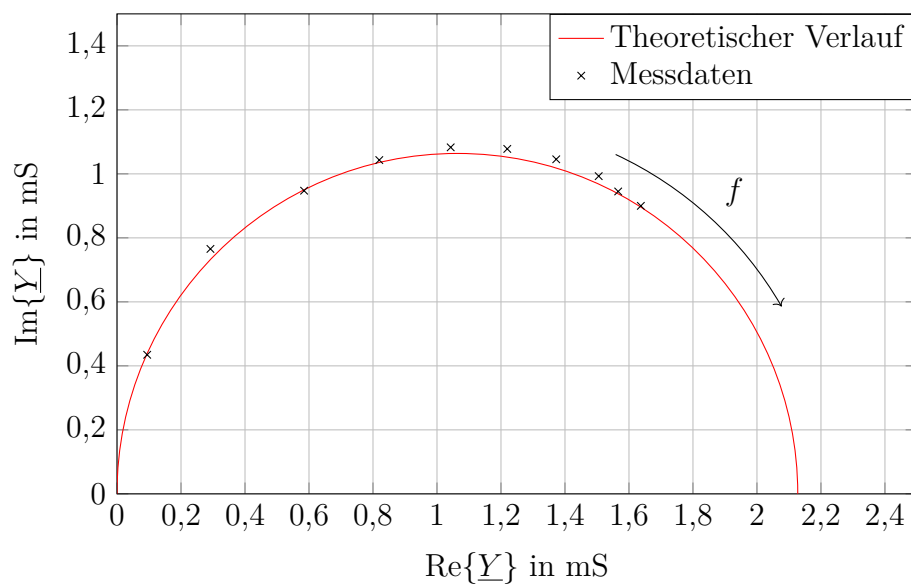
Es ergeben sich – im Rahmen der begrenzten Genauigkeit der Zahlenrepräsentation – exakt gleiche Werte.

Weitere, hier aus Platzgründen nicht dokumentierte Untersuchungen ergaben außerdem die Übereinstimmung der Simulationsdaten aller simulierten Frequenzen mit den theoretischen Werten; Theorie und Simulation liefern also für die untersuchte RC-Reihenschaltung dieselben Ergebnisse. Aus diesem Grund wurde darauf verzichtet, Theorie und Simulation getrennt mit den Messdaten zu vergleichen, und nur ein Vergleich mit den theoretischen Ergebnissen vorgenommen, wobei diese implizit mit den Simulationsdaten gleichzusetzen sind.

Abbildung 6 zeigt die theoretischen Ergebnisse zusammen mit denen der praktischen Messung.



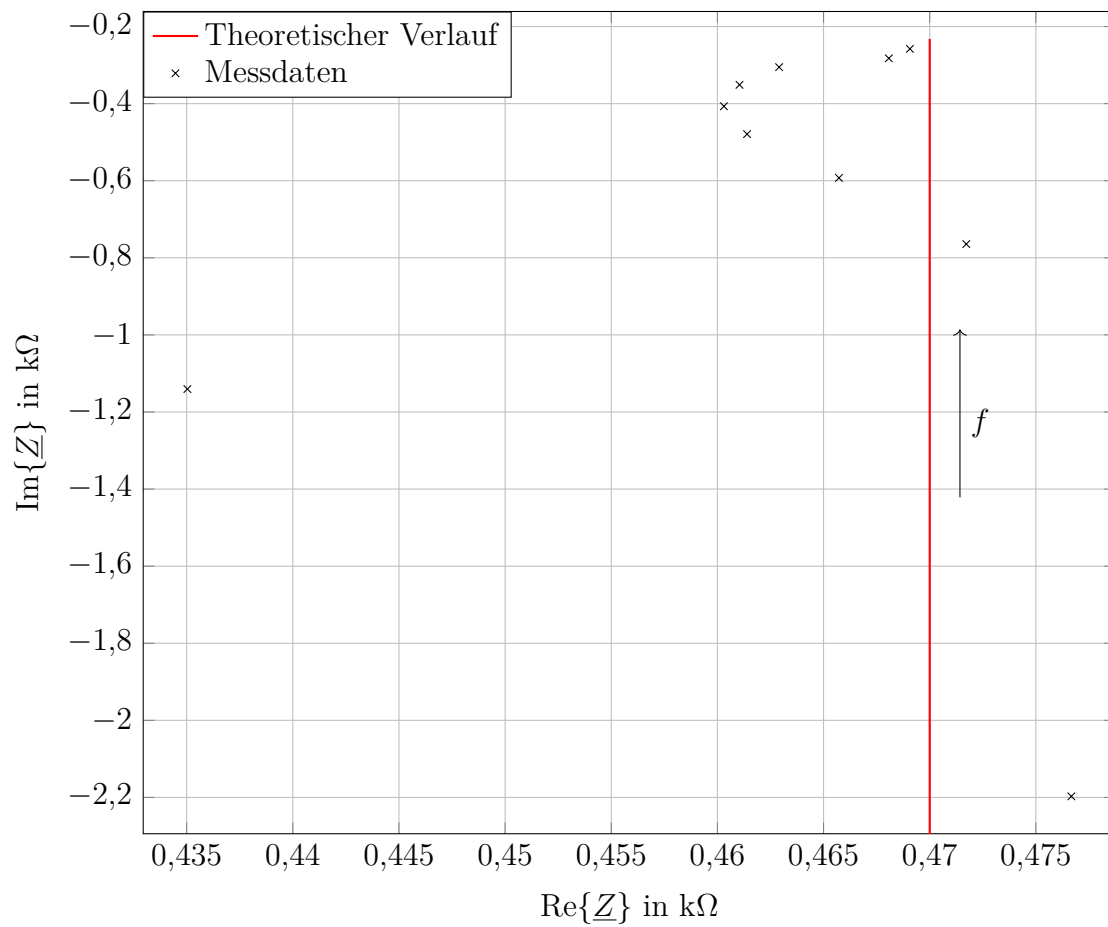
(a) Plot der Impedanzortskurve



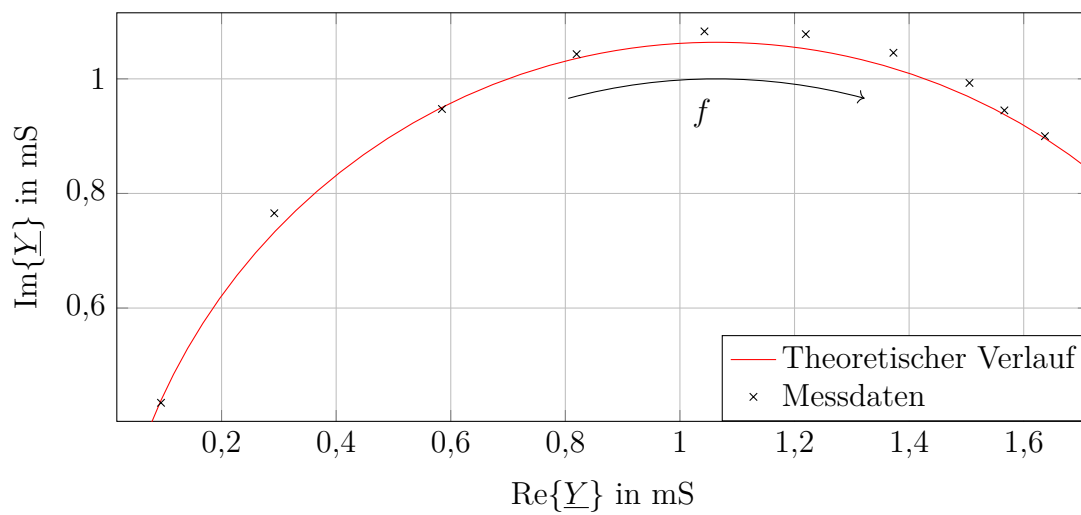
(b) Plot der Admittanzortskurve

Abbildung 6: Plot der theoretischen und der Messergebnisse

Abbildung 7 zeigt den für die Messdaten relevanten Ausschnitt der Kurven aus Abb. 6.



(a) Plot der Impedanzortskurve



(b) Plot der Admittanzortskurve

Abbildung 7: Plot der theoretischen und der Messergebnisse (Ausschnitt)

## **4 Versuchsauswertung**

## **5 Zusammenfassung**

## Tabellenverzeichnis

1	Impedanzortskurve: Vergleich von Theorie und Simulation . . . . .	10
2	Admittanzortskurve: Vergleich von Theorie und Simulation . . . . .	10

## Abbildungsverzeichnis

1	Ersatzschaltbild der untersuchten RC-Reihenschaltung . . . . .	5
2	Simulation: Einstellwerte der Spannungsquelle . . . . .	6
3	Simulation: Schaltung in LTspice . . . . .	7
4	Simulation: Einstellwerte der Simulationsparameter . . . . .	7
5	Plot der theoretischen und der Simulationsergebnisse . . . . .	9
6	Plot der theoretischen und der Messergebnisse . . . . .	11
7	Plot der theoretischen und der Messergebnisse (Ausschnitt) . . . . .	12



## Quellenverzeichnis

- [Laborskript]    Teske, P., Gornig, C.: „Einführung in das Praktikum Elektrische Netzwerke“, Skript zum 0. Versuch im Laborpraktikum des Moduls Elektrische Netzwerke, SoSe 2018, TU Berlin  
[https://isis.tu-berlin.de/pluginfile.php/900997/mod\\_resource/content/1/PR00\\_Einf%C3%BChrung.pdf](https://isis.tu-berlin.de/pluginfile.php/900997/mod_resource/content/1/PR00_Einf%C3%BChrung.pdf)  
Stand: 19.04.2018
- [LTspice]        ©1995 - 2021 Analog Devices, Inc. All Rights Reserved  
<https://www.analog.com/en/design-center/design-tools-and-calculators/ltspice-simulator.html>  
Stand: 11.05.2021
- [readLTspice]    readLTspice.m, SoSe 2021, TU Berlin  
<https://isis.tu-berlin.de/mod/folder/view.php?id=1095222>  
Stand: 11.05.2021